

مقایسه روش‌های شبکه عصبی خودسازنده و آنالیز خوشه‌ای برای ارزیابی مقدار کربن آلی در سازنده‌های محتوی هیدروکربن با استفاده از سیستم‌های هوشمند

پژوهش‌نفت

سال بیست و سوم
شماره ۷۵
صفحه ۱۱۷-۱۳۰
۱۳۹۲
تاریخ دریافت مقاله: ۹۰/۹/۱۲
تاریخ پذیرش مقاله: ۹۱/۲/۲۶

ابراهیم سفیداری^{۱*}، علی کاخدائی^۲ و محمد شریفی^۱

۱. دانشکده زمین‌شناسی، پردیس علوم، دانشگاه تهران

۲. گروه زمین‌شناسی، دانشکده علوم طبیعی، دانشگاه تبریز

ebrahimspidari@ut.ac.ir

واحدهای مشخص (الکتروفاسیس) در مقایسه با مدل استخراج شده برای کل مجموعه داده‌ها بدون در نظر گرفتن خوشبندی، مقدار کل کربن آلی سازنده را با دقت بالاتری پیش‌بینی می‌نماید. در مجموع سیستم‌های هوشمند نسبت به تکنیک‌های قدیمی مبتنی بر روش $\Delta \log R$ مناسب‌تر می‌باشند. روش ارائه شده همراه با مثال موردی از بزرگ‌ترین مخزن گازی غیر همراه جهان، میدان گازی پارس جنوبی در حوضه خلیج فارس ارائه گردیده است.

واژه‌های کلیدی: خوشبندی SOM، آنالیز خوشه‌ای، شبکه عصبی خودسازنده، الکتروفاسیس، ارزیابی اعتبار خوشبندی

چکیده

محتوای کل کربن آلی یکی از پارامترهای مهم جهت ارزیابی ژئوشیمیابی لایه‌های تولید کننده نفت و گاز است. در این مطالعه، طی دو مرحله، محتوای کربن آلی در سازنده‌های هیدروکربن‌دار با استفاده از داده‌های لاغ ارزیابی شده است. در مرحله اول، داده‌های لاغ به مجموعه‌ای از الکتروفاسیس‌ها تقسیم‌بندی شده‌اند. روش‌های استفاده شده برای شناسایی و خصوصیت‌بندی الکتروفاسیس‌ها شامل: شبکه‌های عصبی خودسازنده و روش آنالیز خوشه‌ای می‌باشد. نتایج حاصل از هر دو روش با یکدیگر مقایسه شده و براساس آزمون‌های ارزیابی خوشه‌ای، بهترین روش برای خوشبندی داده‌های پتروفیزیکی در الکتروفاسیس‌های معین مورد استفاده قرار گرفت. مقدار کل کربن آلی با استفاده از داده‌های لاغ به وسیله روش‌های خاص شبکه عصبی برای هر الکتروفاسیس برآورد شد. در مرحله دوم، مقدار کل کربن آلی با استفاده از همان روش خاص شبکه عصبی و بدون در نظر گرفتن الکتروفاسیس‌ها تعیین گردید. نتیجه دو روش با یکدیگر و همچنین با روش $\Delta \log R$ مقایسه شد. نتایج نشان داد که خوشبندی یک سازنده به

مقدمه

مقدار کل کربن آلی یکی از پارامترهای مهم در ارزیابی ژئوشیمیابی سنگ منشاء‌های حاوی هیدروکربن می‌باشد. افزایش مقدار TOC^۱ احتمالاً نشان‌دهنده حضور سنگ

1. Total Organic Carbon

در معادلات بالا، عدد یک مشاهده یا لاغ اندازه‌گیری شده در یک عمق خاص، x نماینده یک لاغ خاص و p شماره تعداد لاغ‌ها می‌باشد. عمومی‌ترین روش اندازه‌گیری فاصله بین دو نمونه بردار روش فاصله اقلیدوسی و فاصله اقلیدوسی استاندارد می‌باشد که روابط مورد استفاده در این دو روش به صورت زیر است:

فاصله اقلیدوسی:

$$d_{rs}^2 = (x_r - x_s)(x_r - x_s) \quad (3)$$

فاصله استاندارد:

$$dS_{rs}^2 = (x_r - x_s) D^{-1} (x_r - x_s) \quad (4)$$

در روابط بالا d فاصله اقلیدوسی، ds مشاهدات، r و s شماره مشاهدات، D ماتریس قطری با عناصر مورب و v^2 واریانس x متغیر در m مشاهده می‌باشد. آنالیز خوش‌های پایکانی شامل سه مرحله به شرح زیر است:

۱- پیدا کردن شباهت یا اختلاف بین هر جفت از مشاهدات موجود در مجموعه داده‌ها

۲- گروه‌بندی کردن مشاهدات به صورت درخت خوش‌های پایکانی

۳- مشخص کردن محل برش بر روی درخت پایکانی

در این مطالعه داده‌های ورودی اصلی آنالیز خوش‌های شامل لاغ‌های کنترل‌کننده لیتلولوژی و تخلخل شامل NPHI، DT RHOB، GR، CGR، SGR، URAN، THOR و POTA می‌باشد. افزایش میزان هتروژنی مخزن، افزایش تعداد کلاسترها را در پی خواهد داشت. نتایج نشان می‌دهد که تشخیص ۷ خوشه بیشترین تناسب را با مطالعات زمین‌شناسی اولیه در منطقه دارد [۶]. شکل ۱ نتایج خروجی آنالیز خوش‌های را نشان می‌دهد.

شبکه عصبی خود سازنده (SOM)

SOM یکی از مهم‌ترین مدل‌های شبکه عصبی است که اخیراً در زمینه‌های مختلفی از قبیل آنالیز تصاویر [۷ و ۸] جهت حرکت بادها [۹ و ۱۰] و تفسیر امواج لرزه‌ای [۱۱ و ۱۲] به کار رفته است.

منشاء و کاهش آن نشان دهنده کاهش گسترش سنگ منشاء می‌باشد. پیرویز راک ایول^۱ یکی از روش‌های استاندارد است که به صورت گستردۀ برای ارزیابی پتانسیل زایشی هیدروکربین مورد استفاده قرار می‌گیرد [۱]. با این وجود آنالیزهای ژئوشیمیابی اغلب پر هزینه و زمانبر است. از این روش توسعه روشنی سریع با هزینه کم برای پیش‌بینی داده‌های ژئوشیمیابی با صحت قابل قبول بسیار مهم می‌باشد. از طرف دیگر داده‌های پتروفیزیکی برای همه چاههای حفاری شده در یک میدان هیدروکربینی در دسترس است. در این زمینه محققان زیادی درخصوص رابطه بین داده‌های ژئوشیمیابی و پتروفیزیکی تحقیق کرده‌اند [۲-۵]. به دلیل پیچیدگی رابطه بین داده‌های پتروفیزیکی و ژئوشیمیابی، مطالعات اخیر بر روی سیستم‌های هوشمند متکرز شده و نتایج قابل قبولی نیز به دست آمده است. با گسترش محدوده داده‌ها، میزان خطأ در سیستم‌های هوشمند افزایش خواهد یافت. از این رو مطالعه حاضر سعی می‌نماید به وسیله الکتروفاسیس^۲ و استخراج مدل‌های هوشمند برای هر الکتروفاسیس منحصر به فرد، میزان خطأ را کاهش دهد.

روش کار

تعیین الکتروفاسیس‌ها بر مبنای شناسایی گروه داده‌هایی با خصوصیات یکسان در داده‌های حاصل از لاغ‌ها انجام می‌گیرد. در ادامه، سه روش برای شناسایی الکتروفاسیس‌ها مورد بحث قرار گرفته است.

آنالیز خوش‌های

هدف از آنالیز خوش‌های تقسیم‌بندی مجموعه داده‌ها به گروه‌های مشخص بر اساس اندازه‌گیری شباهت یا تفاوت بین گروه‌ها می‌باشد که داده‌های موجود در هر گروه بیشترین شباهت را با یکدیگر و بیشترین تفاوت را با داده‌های موجود در گروه‌های دیگر دارند. الگوریتم‌های مختلفی برای محاسبه فاصله بین دو داده‌برداری وجود دارد. اگر دو مجموعه داده مشخص، شامل اندازه‌گیری‌های چندگانه‌ای در یک مشاهده یکسان باشند، می‌توانند به وسیله بردارهای چند بعدی زیر تعریف شوند:

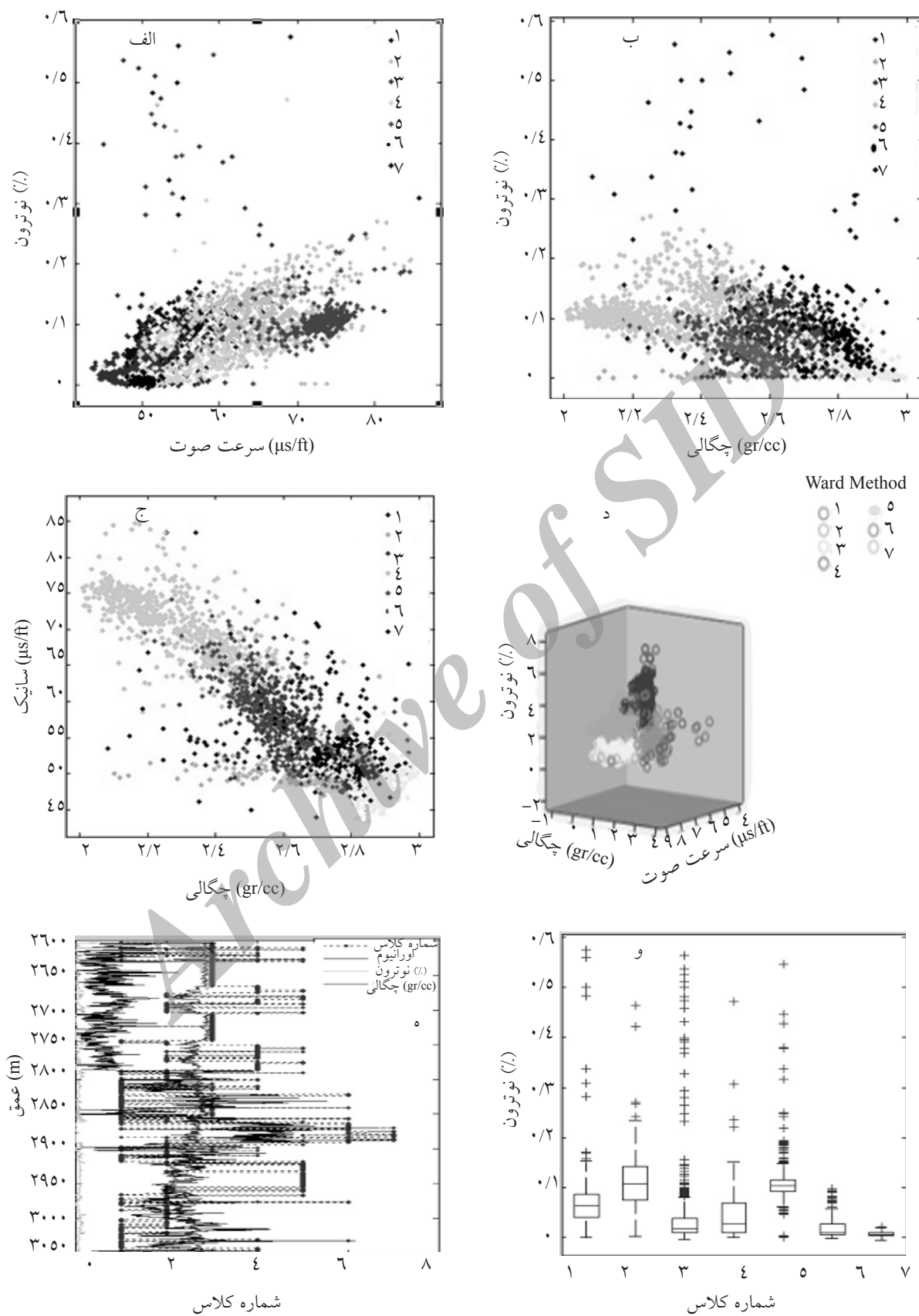
$$X1 = (x11 \ x12 \ \dots \ x1p) \quad (1)$$

$$X2 = (x21 \ x22 \ \dots \ x2p) \quad (2)$$

1. Rock-Eval Pyrolysis

2. Electrofacies

3. Self Organizing Map



شکل ۱- نتایج خروجی آنالیز خوشاهی در چاه A. تفکیک لاک صوتی در مقابل نوترون (الف)، چگالی در مقابل نوترون (ب)، چگالی در مقابل صوتی (ج)، تفکیک سه بعدی لاگ های اصلی تخلخل صوتی، نوترون، و چگالی (د)، لاگ های اورانیم، نوترون و کلامس های تعریف شده در مقابل عمق (ه) و نمودار جعبه ای تخلخل نوترون برای رخساره های الکتریکی معرفی شده.

کلاس‌های بهینه مورد استفاده قرار می‌گیرد که این میزان بر اساس دوری و نزدیکی مشاهدات و خوشبندی‌ها به یکدیگر محاسبه می‌شود. مقدار $S(i)$ با استفاده از فرمول زیر قابل محاسبه است:

$$S(i) = \frac{(b(i) - a(i))}{\max \{a(i), b(i)\}} \quad (5)$$

$a(i)$ میانگین فاصله بین مشاهده i با سایر مشاهدات در یک خوشبندی مشابه و $b(i)$ میانگین فاصله مشاهده i به تمام مشاهدات در خوشبندی دیگر می‌باشد. بر اساس فرمول بالا مقدار $S(i)$ بین -1 و $+1$ قرار دارد. اگر $S(i)$ به $+1$ نزدیک‌تر باشد، به این معنی است که خوشبندی نمونه خوب صورت گرفته است و خوشبندی پیشنهاد شده برای نمونه مورد نظر مناسب می‌باشد. ولی اگر $S(i)$ به -1 نزدیک‌تر باشد به این معنی است که خوشبندی نمونه، به خوبی انجام نشده و خوشبندی پیشنهاد شده برای داده مورد نظر نامناسب می‌باشد. بیشترین مقدار $S(i)$ کلی، نشان‌دهنده بهترین روش خوشبندی می‌باشد. همچنین بهترین شماره تعداد خوشبندی زمانی است که بیشترین مقدار میانگین $S(i)$ کلی را برای کل مجموعه داده‌ها داشته باشیم. مقدار میانگین $S(i)$ برای هر دو روش خوشبندی در شکل ۳ نشان داده شده است. مطابق این شکل، روش شبکه عصبی نتیجه بهتری برای مجموعه داده‌های مورد استفاده در این تحقیق به دنبال دارد.

شبکه عصبی و الگوریتم آموزشی

مدل شبکه عصبی از دو مرحله تشکیل شده است:

۱- انتخاب ورودی مناسب از میان مجموعه داده‌های لاغر در دسترس.

۲- طراحی شبکه عصبی پس انتشار خطأ با الگوریتم آموزشی مناسب. واضح است که بخش‌هایی از روش شرح داده شده در بالا در تحقیقاتی‌های گذشته هم وجود داشته و جدید نمی‌باشد. به عنوان مثال الگوریتم آموزشی شبکه عصبی روش مرسومی است. اختلاف بین مطالعه حاضر با کارهای قبلی در استفاده از برخی الگوهای اضافی مبتنی بر مشخص کردن الکتروفاسیس‌ها برای برآورد مناسب‌تر و قابل قبول تر TOC بر اساس لاغرها و رودی می‌باشد.

1. Silhouette Validation Technique

الگوریتم SOM یک نوع مدل شبکه عصبی است که در پیاده‌سازی و طرح ریزی مشخصه‌های غیر خطی از فضای چند بعدی به فضای یک بعدی مورد استفاده قرار می‌گیرد [۱۳]. الگوریتم آموزشی شبکه‌های عصبی خود سازنده به صورت زیر خواهد بود [۱۴-۱۶].

۱. محاسبه فاصله بین الگو و تمام سلول‌های عصبی ($d_{ij} = \|x_k - w_{ij}\|$)

۲. انتخاب نزدیک‌ترین نرون به عنوان نرون برنده [$w_{ij}: d_{ij} = \min(d_{mn})$]

۳. به روزرسانی هر نرون با توجه به قاعده $w_{ij} = w_{ij} + \alpha h(w_{\text{winner}}, w_{ij}) \|x_k - w_{ij}\|$

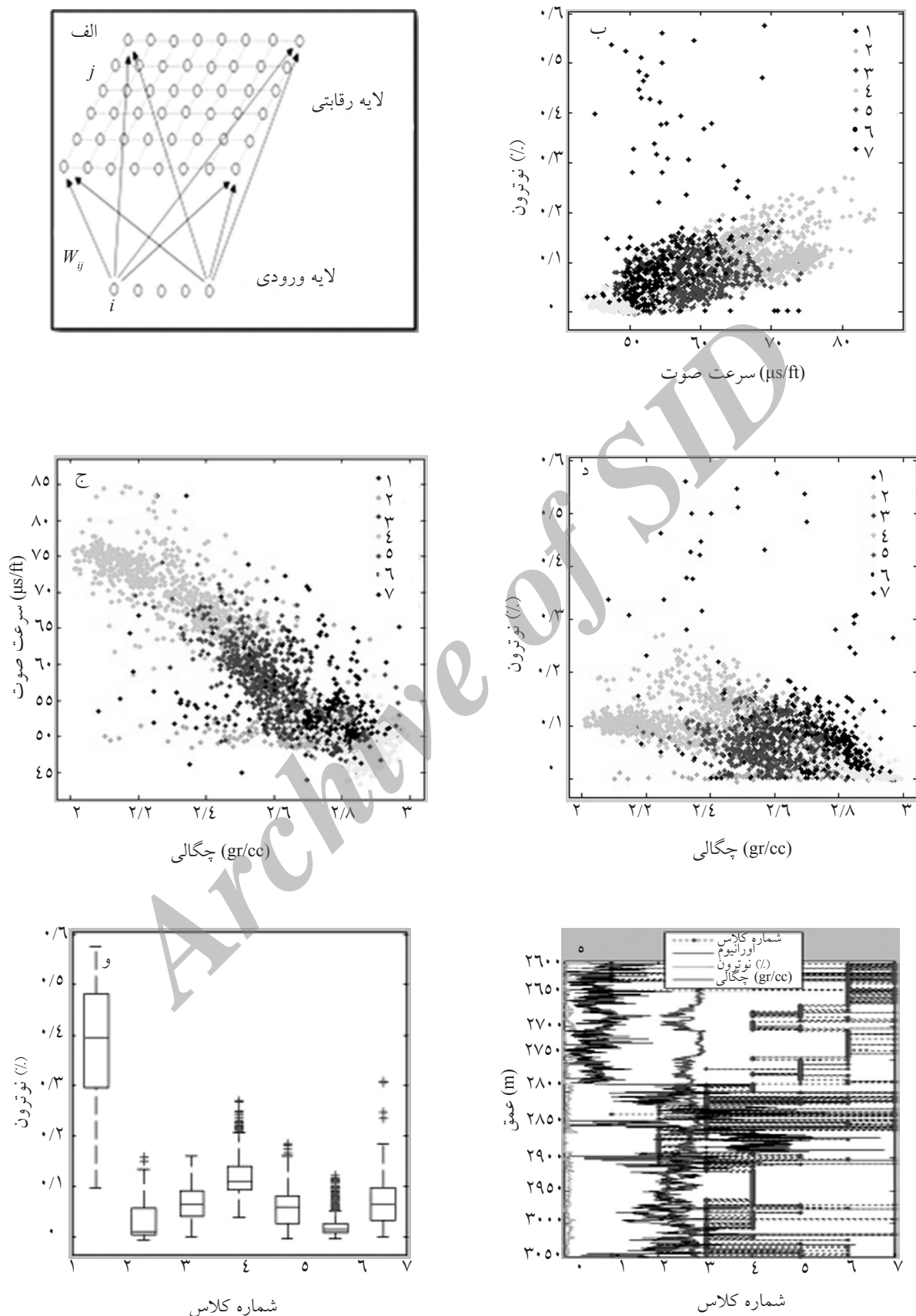
۴. این روند تا زمانی که یک معیار توقف خاص به دست آید، تکرار می‌شود. عموماً معیار توقف، تعداد ثابتی از تکرار می‌باشد. برای اثبات همگرایی و ثبات نقشه، نرخ یادگیری و شعاع همسایگی در هر تکرار کاهش می‌یابد. بنابراین، همگرایی به سمت صفر میل خواهد کرد. فاصله اندازه‌گیری بین بردارها فاصله اقلیدوسی می‌باشد، ولی از Mahalanobis سایر اندازه‌گیری‌های فواصل مانند فاصله سماتیک SOM نیز می‌توان استفاده نمود. دیاگرام سماتیک ساختار SOM و نتایج خوشبندی آن بر روی داده‌های لاغر استفاده شده، در شکل ۲ به نمایش درآمده است.

ارزیابی خروجی خوشبندی

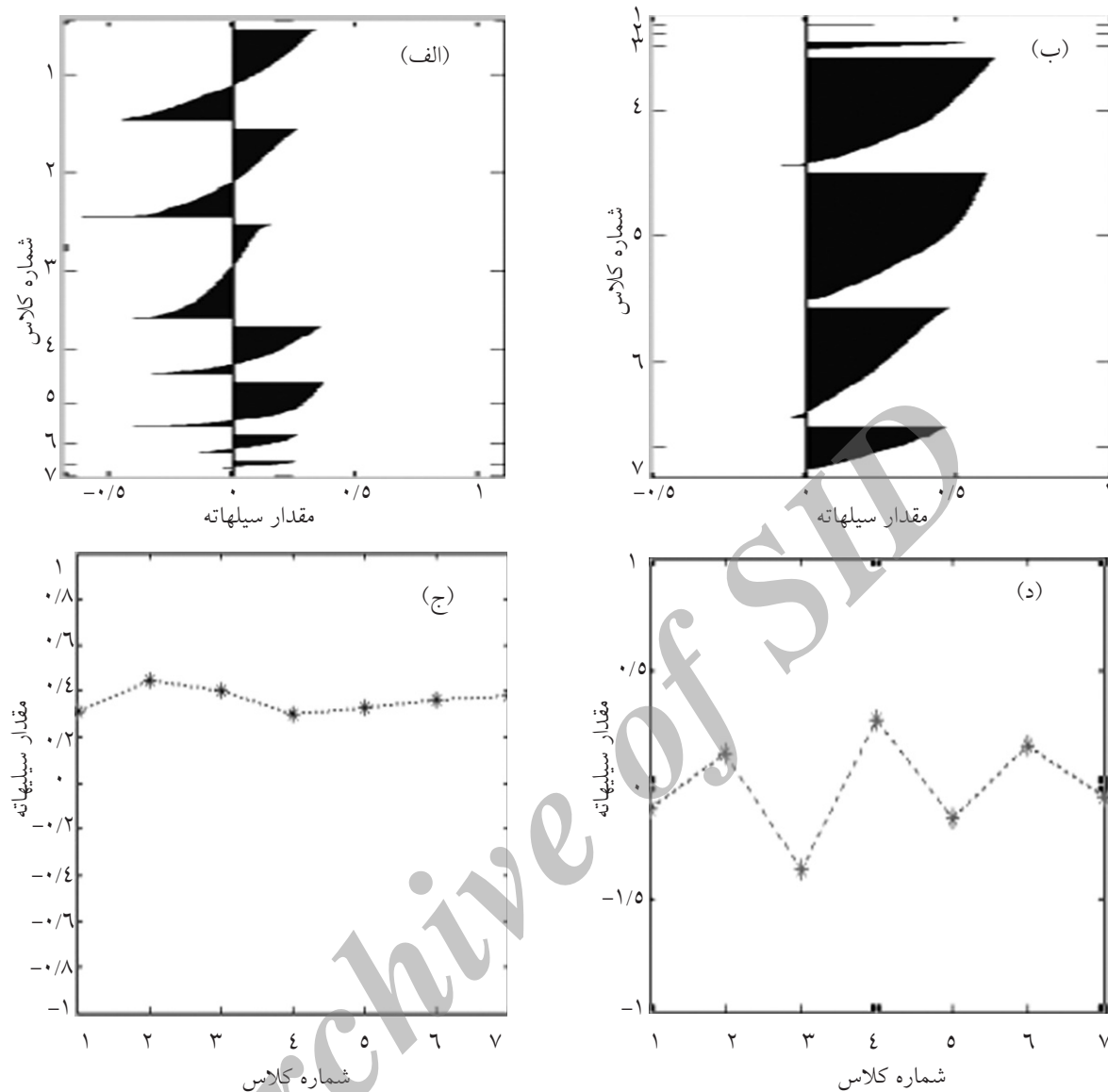
ارزیابی خوشبندی اندازه‌گیری، میزان برتری یک خوشبندی نسبت به خوشبندی‌های دیگر به وسیله الگوریتم‌های متفاوت خوشبندی یا الگوریتم‌های مشابه ولی با مقدار پارامترهای متفاوت می‌باشد [۱۷]. اندیس C (C-index) و روش اعتبارسنجی Silhouette^۱ در این مطالعه برای مقایسه روش‌های خوشبندی مورد استفاده قرار گرفته است.

روش اعتبارسنجی Silhouette

تکنیک اعتبارسنجی Silhouette مقدار Silhouette را برای هر نمونه، هر کلاس و مجموعه داده‌ها محاسبه می‌کند. میانگین مقدار Silhouette برای ارزیابی اعتبار خوشبندی و همچنین برای تصمیم‌گیری در مورد انتخاب تعداد



شکل ۲- نتایج خروجی حاصل از روش SOM. نمایی از یک شبکه عصبی خود سازمانده (الف)، نمودار تفکیک تخلخل صوتی در مقابله نوترون، چگالی در مقابله سرعت صوت (ج)، چگالی در مقابله نوترون (د)، نمودار جعبه‌ایی تخلخل نوترون در کلاس‌های مختلف و لاغه‌ای اورانیم، نوترون چگالی و کلاس‌های الکتریکی مختلف در مقابله عمق.

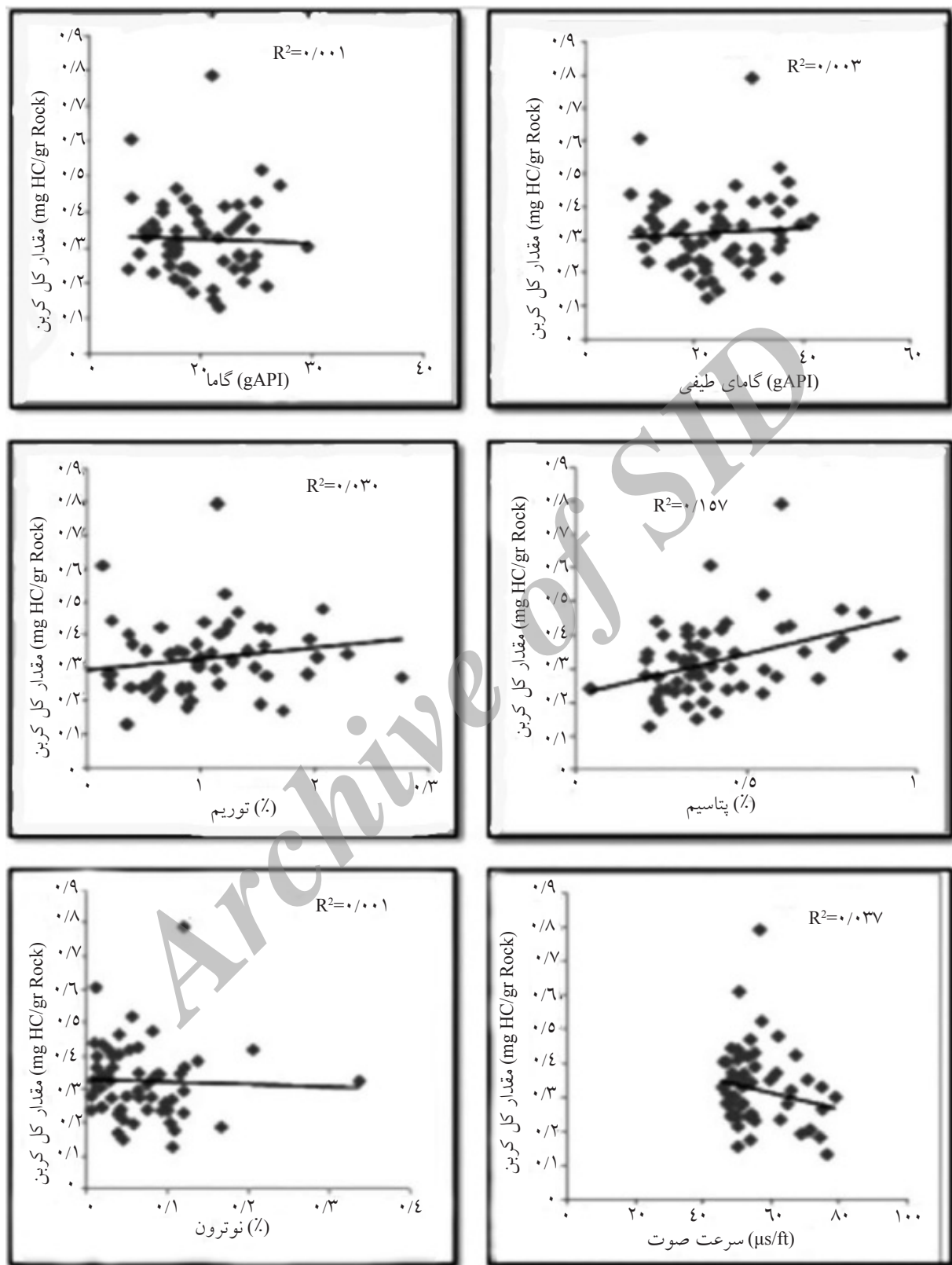


شکل ۳- مقدار سیلهاته برای روش شبکه عصبی (الف و ج) و آنالیز پایکانی (ب و د). همان‌طور که دیده می‌شود برای روش شبکه عصبی این مقدار به ۱ نزدیکتر می‌باشد.

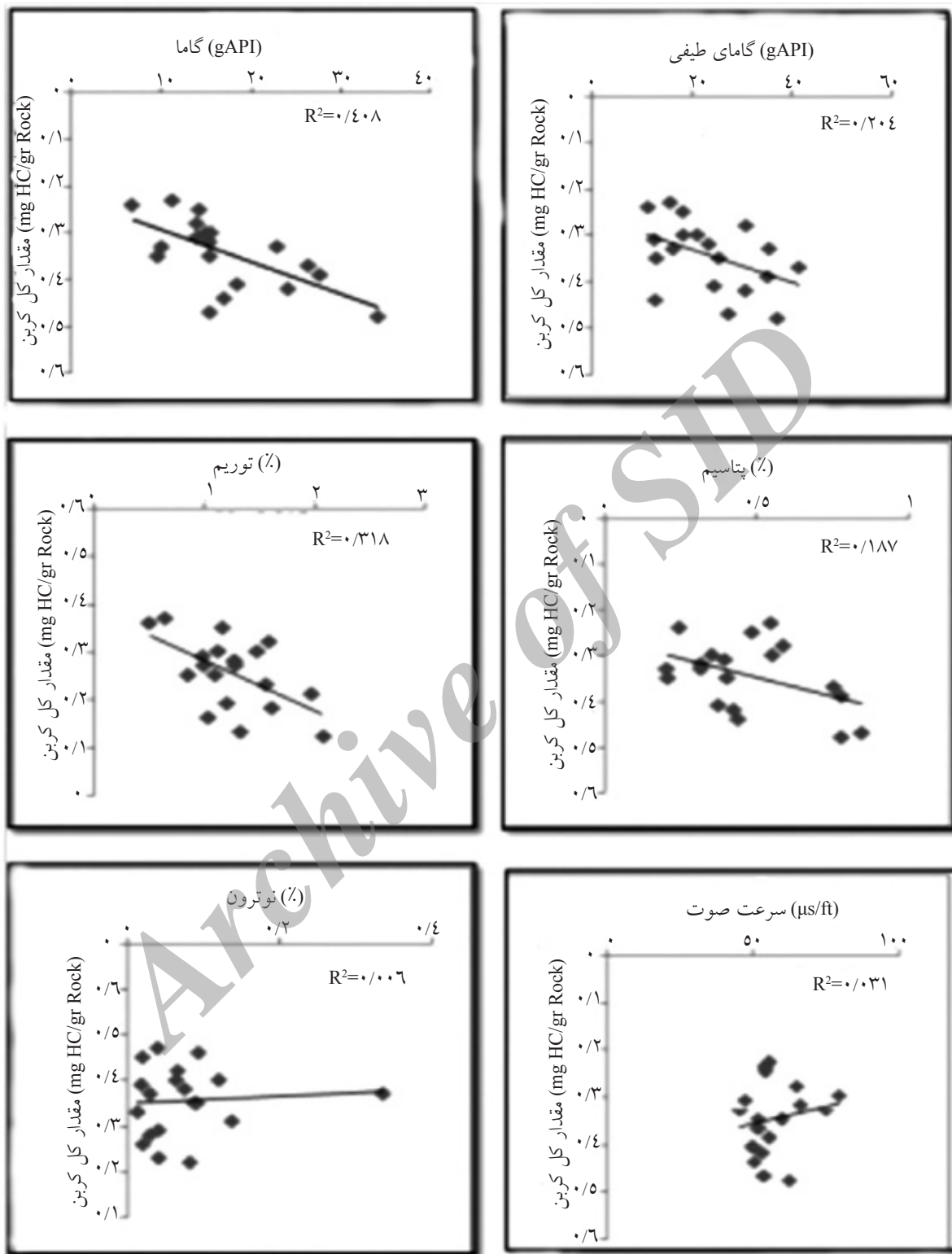
بین داده‌های ورودی و TOC قبل و پس از خوشبندی در شکل ۴ و ۵ نشان داده شده است. همان‌طور که دیده می‌شود، این همبستگی بعد از خوشبندی بهبود یافته و برای الکتروفاسیس شماره ۱ به تصویر کشیده شده است. عموماً اندیس هیدروژن (HI) در مواد آلی به دلیل بالا بودن محتوای هیدروژن بالا می‌باشد. بنابراین تخلخل نوترون در بازه‌های غنی از مواد آلی افزایش می‌یابد. زمان انتقال صوت، تابعی از لیتوژی سازند، تخلخل و مدل‌های توزیع سیال در سازند است (نفت، آب، گاز و ...). مقدار TOC با افزایش مقادیر (DT)، GR، CGR، SGR، پتانسیم و توریم افزایش می‌یابد.

انتخاب ورودی‌های مناسب

این مرحله نقش مهمی در مدل استخراج شده ایغا می‌نماید. مقایسه نشان می‌دهد که لاغ‌های تخلخل نوترون (NPHI)، زمان انتقال صوت (DT)، CGR، GR، K و THOR بیشترین همبستگی را با TOC دارند. نتایج این مطالعه نشان می‌دهد که بعد از خوشبندی داده‌های پتروفیزیکی، همبستگی بین ورودی‌ها و خروجی‌ها در هر الکتروفاسیس به میزان قابل ملاحظه‌ای افزایش می‌یابد. این نکته باعث اختلاف این مقاله با دیگر کارهای انجام شده و کاهش خطای پیش‌بینی به وسیله خوشبندی بر مبنای یک مدل شبکه عصبی می‌باشد. مقایسه همبستگی



شکل ۴- همبستگی بین داده‌های ورودی و خروجی قبل از خوشه بندی. همبستگی بین مقدار کل کربن آلی با لاغ‌های ورودی، مقدار کربن آلی - گاما (الف)، مقدار کربن آلی - طیف گاما (ب)، مقدار کربن آلی - توریم (ج)، مقدار کربن آلی - پتاسیم (د)، مقدار کربن آلی - نوترون (ه) و مقدار کربن آلی - سرعت صوت (و).



شکل ۵- همبستگی بین داده‌های ورودی و خروجی بعد از خوشه بندی. همبستگی بین مقدار کل کربن آلی با لaggهای ورودی، مقدار کربن آلی - گاما (الف)، مقدار کربن آلی - طیف گاما (ب)، مقدار کربن آلی - توربید (ج)، مقدار کربن آلی - پتاسیم (د)، مقدار کربن آلی - نوترون (ه) و مقدار کل کربن آلی - سرعت صوت (و).

($mg\text{-}50-30$) را در دستگاه با یک اتمسفر خنثی (هليوم یا نيتروژن) حرارت می‌دهند و مقدار هيدروكربن موجود در نمونه (پیک، S_i) و مقداری که پس از بلوغ آزاد شده (پیک، S_e) را اندازه‌گیری نمایند. مقدار T_{max} به عنوان یک پارامتر استاندارد نشان‌گر دمایی است که در آن پیک، S_e به ماکریم مقدار خود می‌رسد و به عنوان یک پارامتر بلوغ برای نمونه‌های آلی مورد استفاده قرار می‌گیرد. این پارامتر کیفیت مواد آلی نمونه سنگ را جهت اهداف استخراجی نشان می‌دهد.

در این مطالعه، به منظور به دست آوردن پارامترهای ژئوشیمیایی، ۲۰۰ نمونه کاتینگ متعلق به سه سازند کردمی با لیتولوژی غالب مارن، سازندهای کنگان و دالان با لیتولوژی غالب کربناته (کلسيت و دولوميت) همراه با ميان لاييهای شيلی و مارني، پيروليز راک ايول شدند.

آماده‌سازی و پردازش داده‌ها

در اين مطالعه ۲۰۰ نمونه همراه با داده‌های لاغ و TOC (به دست آمده از پيروليز راک ايول) مورد استفاده قرار گرفت. در ابتدا، ۱۴۰ داده برای آموزش، ۳۰ نمونه برای اعتبارسازی و ۳۰ نمونه نيز برای تست شبکه مورد استفاده قرار گرفت. داده‌های لاغ مورد بررسی در بازه‌های با دقت کم حذف شدند.

پيش‌بینی مقدار TOC توسط شبکه عصبی

اين بخش شامل دو مرحله است: ۱- تخمين مقدار TOC توسط يک شبکه برای كل اينتروال بدون خوشبندی و ۲- تخمين TOC توسط شبکه‌های مجزا برای هر الکتروفاسيس. در ابتدا يک شبکه سه لايه پس انتشار خطأ در محيط MATLAB طراحی گردید. برای طراحی شبکه‌ای با بهترین الگوريتم‌های آموزش، مجموعه‌ای از پارامترهای بهينه شامل شماره لاييهای پنهان، شماره نرون در لاييهای پنهان، تعداد تكرارهای آموزش و توابع انتقال مورد نياز است. اين پارامترها به روش آزمون و خطأ تعين شدند. برای به دست آوردن مدل بهينه، شبکه‌ای با تعداد مختلفی از نرون‌ها در لاييه پنهان به همراه ترکيبی از لاغ‌های ورودی مختلف، مورد آزمایش قرار گرفتند.

به منظور انتخاب ورودی‌های مناسب برای طراحی شبکه عصبی با يک شبکه سه لايه با پارامتر خروجي TOC از نرم‌افزار MATLAB استفاده شد. در لايه ورودی چندين گروه از مجموعه لاغ‌ها (۱۴۰ داده برای آموزش و ۳۰ داده برای اعتبارسنجي) مورد استفاده قرار گرفت. در هر بار اجرا، صحت مدل با داده‌های تست (۳۰ داده) مورد بررسی قرار گرفت.

طراحی شبکه با الگوريتم آموزشی

شبکه پس انتشار خطأ يک روش آموزشی نظارتی است که ورودی‌ها را به شبکه انتقال می‌دهد و خطای بين خروجي طراحی شده را با خروجي به دست آمده از مجموعه داده‌های آموزشی مقایسه می‌کند. میزان خطأ در شبکه به عقب منتقل شده و بر اساس آن وزن‌ها در طول شماری از تكرار که epochs نامیده می‌شود تعدیل می‌گردد. آموزش زمانی متوقف می‌شود که مقدار خروجي محاسبه شده بيشترین نزديکي را به خروجي طراحی شده داشته باشد [۱۸]. در ارتباط با روش استفاده شده برای به روزکردن وزن‌ها و مقدار ب اياس‌ها چندين الگوريتم آموزشی توسعه داده شده است. در اين مطالعه الگوريتم آموزشی Levenberg-Marquardt به عنوان بهترینتابع Levenberg-Marquardt برای آموزش شبکه انتخاب شد. Levenberg-Marquardt يک تابع آموزشی است که وزن‌ها و ب اياس‌ها را بر اساس تعين می‌نماید [۱۹].

نتایج و بحث

بررسی موردی

داده‌های مورد استفاده برای اين مطالعه از چاههای ميدان گازی پارس جنوبی فراهم شده است. قبل از استخراج مدل، جمع‌آوری داده‌های ژئوشيميايی و لاغ‌های پتروفيزيكی از بازه‌های مطالعه شده مورد نياز بود. مدل شبکه عصبی به دو صورت مختلف قبل و بعد از خوشبندی اجرا گردید و نتایج با يكديگر مقایسه شد. مراحل کار در ادامه توضیح داده شده است.

پيروليز راک - ايول

در اين روش مقدار اندکی از سنگ ($mg\text{-}70$) يا زغال

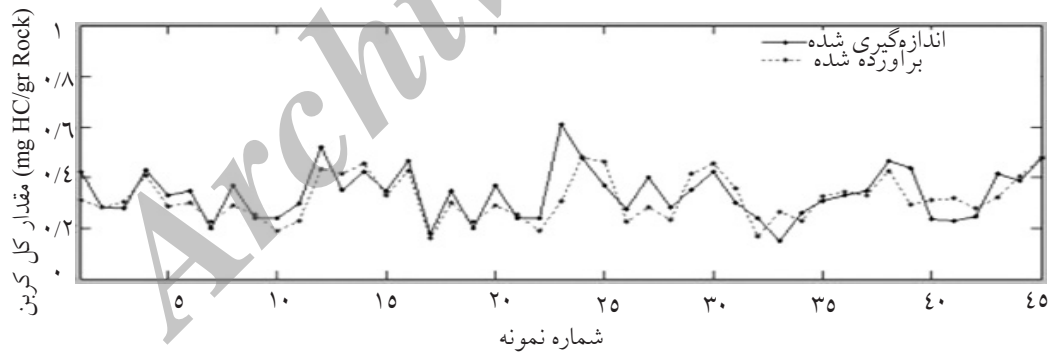
مدل‌های شبکه عصبی مجزا برای هر الکتروفاسیس طراحی گردید. پارامترهای مدل بهینه شبکه عصبی که برای هر الکتروفاسیس تعیین شده، در جدول ۲ فهرست شده است.

نمایش گرافیکی و پلات‌های تصویری مقایسه ای TOC اندازه‌گیری شده و محاسبه شده قبل و پس از خوشبندی در شکل ۸ نمایش داده شده است. همان‌گونه که دیده می‌شود، نتایج برای الکتروفاسیس اول پس از اعمال خوشبندی، بهبود یافته است.

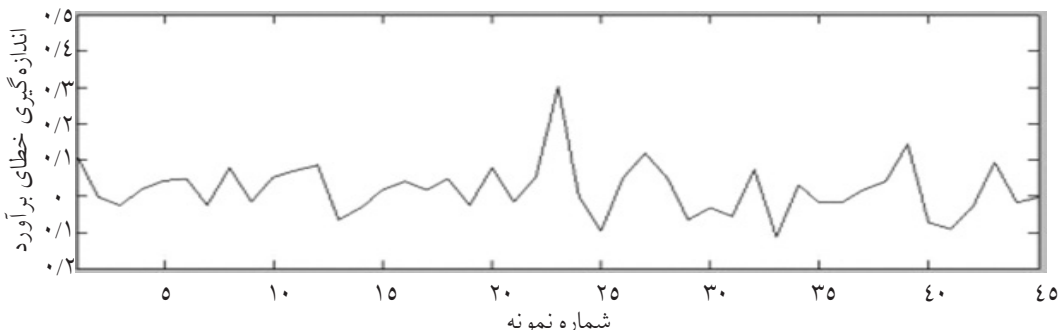
سرانجام مدلی با بالاترین سطح کارایی به عنوان مدل بهینه انتخاب شد. جدول ۱ خصوصیات شبکه‌های مختلف و مدل بهینه را نشان می‌دهد. ملاک کارآیی شبکه براساس تطابق ضریب تاثیر بین داده خروجی و داده مورد انتظار و حداقل مقدار خطای انتخاب گردید. خطای اندازه‌گیری شده بین مقدار واقعی TOC و مقدار پیش‌بینی شده در مقابل تکرارهای تمرین‌دهی در شکل ۶ و ۷ مشاهده می‌شود. به منظور پیش‌بینی TOC براساس مدل الکتروفاسیس،

جدول ۱- خصوصیات شبکه مدل بهینه و میزان خطای برای شبکه استخراج شده

میانگین مربعات خطای آموزشی	تابع آموزشی	تعداد تکرار	وروودی
۰/۰۸۱	LM	۸	GR
۰/۰۶۴	LM	۷	GR, CGR
۰/۰۹۷	LM	۹	GR, CGR, SGR
۰/۰۵۶	LM	۱۱	GR, CGR, SGR, THOR
۰/۰۳۲	LM	۸	GR, CGR, SGR, THOR, POTA
۰/۰۱۱	LM	۶	GR, CGR, SGR, THOR, POTA, URAN
۰/۰۰۹۴	LM	۴	GR, CGR, SGR, THOR, POTA, URAN, DT
۰/۰۰۷۳	LM	۷	GR, CGR, SGR, THOR, POTA, DT, NPHI
۰/۰۰۹۴	OSS	۷	GR, CGR, SGR, THOR, POTA, DT, NPHI
۰/۰۱۹	BR	۸	GR, CGR, SGR, THOR, POTA, DT, NPHI



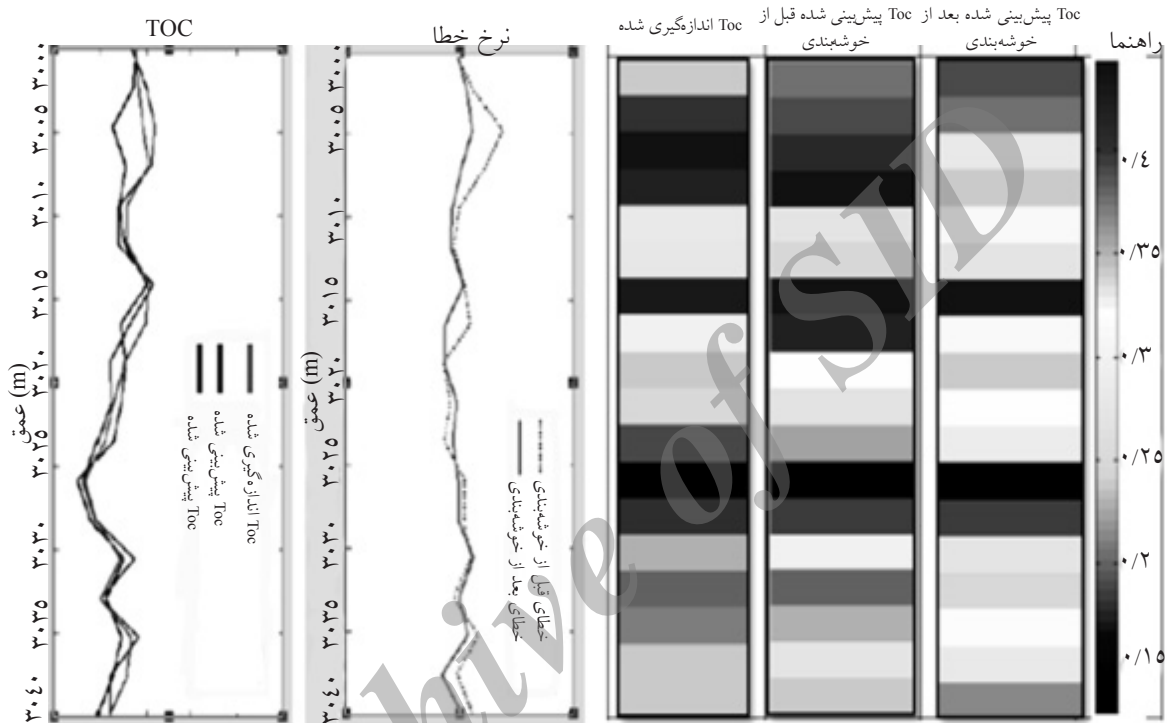
شکل ۶- مقادیر به دست آمده برای خروجی شبکه و داده مورد انتظار در مراحل آموزش، اعتبارسنجی و آزمایش قبل از خوشبندی مقابله شماره نمونه‌ها



شکل ۷- خطای اندازه‌گیری شده بین مقدار واقعی TOC و مقدار پیش‌بینی شده در مقابل تکرارهای مرحله آموزش قبل از خوشبندی مقابله شماره نمونه‌ها

جدول ۲- پارامترهای مدل بهینه شبکه عصبی برای هر الکتروفاسیس

شماره کلاس	تعداد تکرار	تابع آموزشی	میانگین مریعات خطأ
۱	۶	LM	۰/۰۰۷۱
۲	۷	LM	۰/۰۰۵۲
۳	۹	LM	۰/۰۰۵۸
۴	۸	LM	۰/۰۰۴۱
۵	۵	LM	۰/۰۰۲۵
۶	۷	LM	۰/۰۰۴۳
میانگین مریعات خطأ برای همه کلاس‌ها			۰/۰۰۴۸



شکل ۸- نمایش گرافیکی و پلات‌های تصویری مقایسه‌ای TOC اندازه‌گیری شده و برآورده شده قبل و پس از خوشبندی در الکتروفاسیس ۱. عکس‌های تصویری مقادار کل کربن آلی برآورده شده: بعد از خوشبندی (الف)، قبل از خوشبندی (ب)، مقادار اندازه‌گیری شده (ج)، نرخ خطأ برای هر دو حالت (د) و پلات در مقابل عمق برای همه حالت‌های برآورده شده و اندازه‌گیری شده (ه)

$$\Delta \log R = \log_{10} (R/R_{\text{base}}) - k(P - P_{\text{base}}) \quad (6)$$

در این رابطه، R میزان مقاومت و P میزان تخلخل یک لاغ سونیک، دانسیته و یا نوترونی است. R_{base} و P_{base} میزان TOC محاسبه می‌شود:

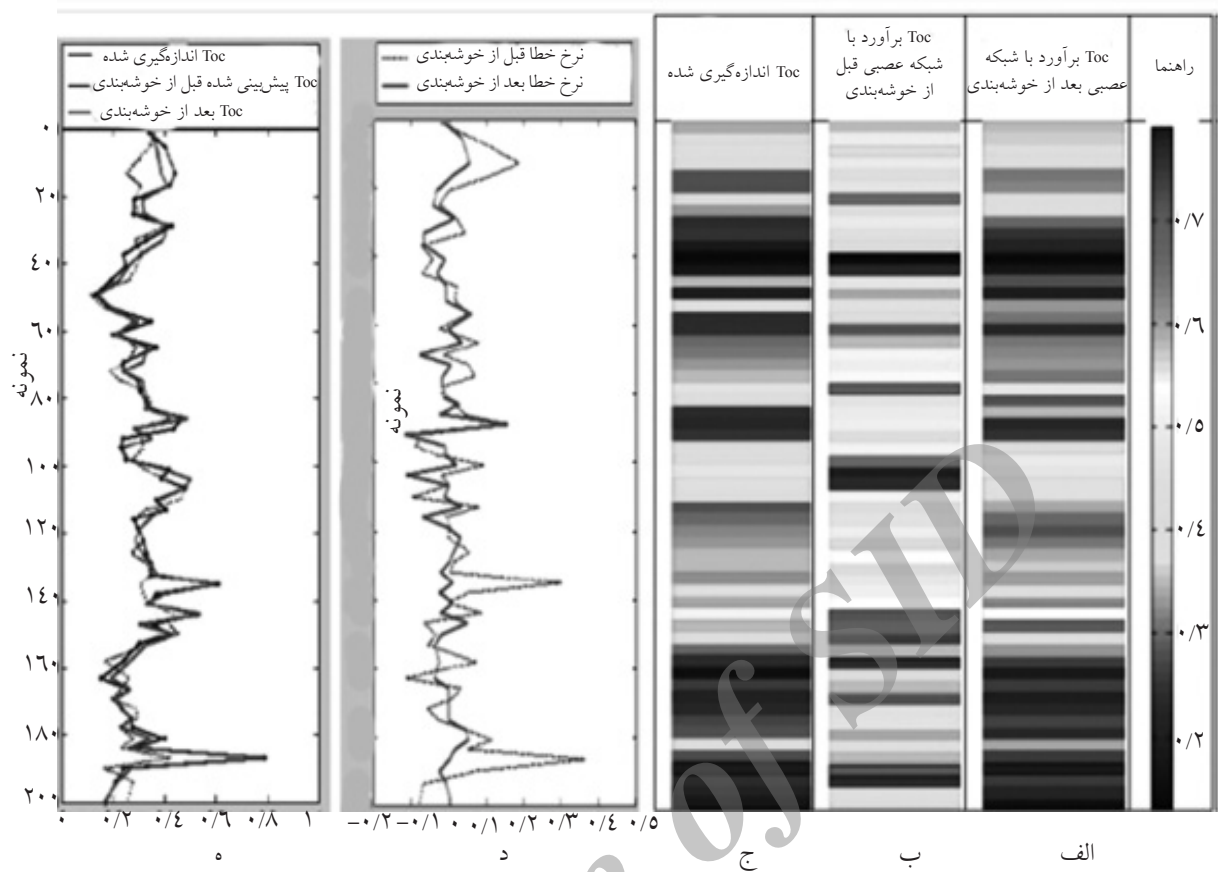
$$\text{TOC} = \Delta \log R * 10 (2.297 - 0.1688 * \text{LOM}) \quad (7)$$

LOM در این رابطه نشان‌گر سطح بلوغ ماده آلی است. LOM های بالا (مانند ۱۱) تطابق خوبی را با نتایج آنالیزهای ژئوشیمیایی نشان می‌دهد. مقایسه بین TOC اندازه‌گیری شده حاصل از پیش‌بینی شبکه عصبی و روش $\Delta \log R$ در شکل ۱۰ نمایش داده شده است. به طور کلی، می‌توان گفت که روش شبکه عصبی بسیار دقیق‌تر از روش $\Delta \log R$ است.

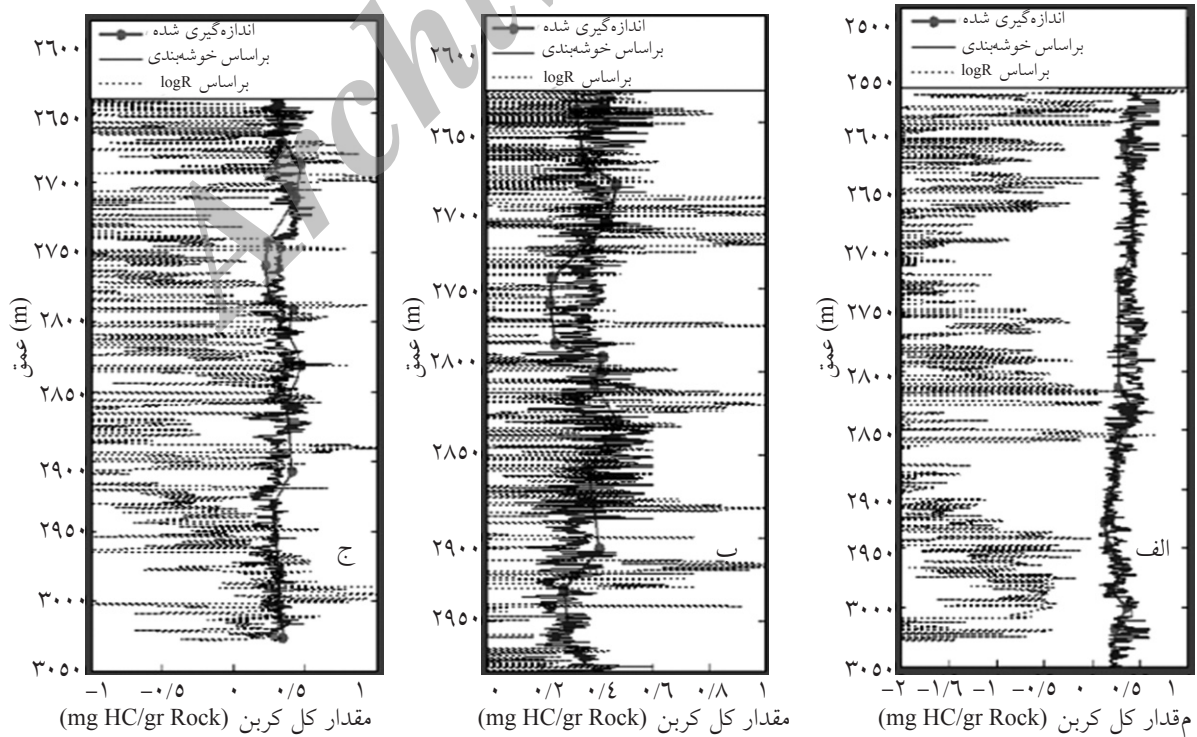
شکل ۸ نمایش گرافیکی و پلات‌های تصویری مقایسه‌ای TOC اندازه‌گیری شده و برآورده شده قبل و پس از خوشبندی را برای کل داده‌ها نشان می‌دهد. شکل ۹ نمایش گرافیکی و پلات‌های تصویری مقایسه‌ای TOC اندازه‌گیری شده و برآورده شده قبل و پس از خوشبندی را برای کل داده‌ها نشان می‌دهد.

پیش‌بینی TOC توسط روش $\Delta \log R$

روش $\Delta \log R$ برای جدایش بین لاغ‌های تخلخل و مقاومت برای شناسایی و محاسبه TOC به کار برده می‌شود [۲]. رابطه زیر جدایش مایبن لاغ‌های تخلخل و مقاومت ($\Delta \log R$) را نشان می‌دهد:



شکل ۹- نمایش گرافیکی و پلات های تصویری مقایسه ای TOC اندازه گیری شده برآورده شده، قبل و پس از خوشبندی برای کل داده ها. عکس های تصویری مقدار کل کربن آلی برآورده شده: بعد از خوشبندی (الف)، قبل از خوشبندی (ب)، مقدار اندازه گیری شده (ج)، نرخ خطای برای هر دو حالت (د) و پلات در مقابل عمق برای همه حالت های برآورده شده و اندازه گیری شده (ه)



شکل ۱۰- نمایش مقدار کربن آلی اندازه گیری شده و برآورده شده با استفاده از شبکه عصبی و روش Log C در چاهات A، B و

از داده‌های ورودی و خروجی قبل از طراحی مدل‌های هوشمند می‌تواند به میزان قابل ملاحظه‌ای دقت تخمین‌های نهایی را بالا ببرد. در اینجا انطباق خوبی بین TOC‌های اندازه‌گیری شده حاصل از پیروولیز راک ایول و TOC‌های پیش‌بینی شده از کلاسترها وجود دارد (شکل ۶).

در مقایسه با روش $\Delta \log R$ ، کارآبی روش‌های هوشمند به‌ویژه در صورت خوشبندی بازه‌ها، بسیار بالاتر است. با استفاده از مدل شبکه عصبی مبتنی بر خوشبندی، مقدار TOC برای چاههای A، B و C در میدان گازی پارس جنوبی تعیین شد. مقایسه بین TOC‌های اندازه‌گیری شده از پیروولیز راک ایول و مقدار پیش‌بینی شده از خوشبندی براساس مدل شبکه عصبی و روش $\Delta \log R$ در شکل ۹ به نمایش درآمده است. همان‌طور که نشان داده شده، انطباق خوبی بین TOC‌های اندازه‌گیری شده و پیش‌بینی شده حاصل از روش شبکه عصبی در کل بازه مشاهده می‌گردد.

نتیجه‌گیری

در این مقاله، از یک روش دو مرحله‌ای برای پیش‌بینی TOC از داده‌های پتروفیزیکی استفاده گردید. SOM و HCA برای تعیین الکتروفاسیس از داده‌های لاغ به کار گرفته شدند. آزمون اعتبارستجو خوشبندی براساس مقدار Silhouette نشان داد که خوشبندی به روش شبکه عصبی براساس روش SOM، نتایج مطلوب‌تری را برای دسته‌بندی داده‌ها و تعیین الکتروفاسیس ارائه می‌دهد. با روش الگوریتم SOM، ۷ کلاستر براساس داده‌های لاغ تعیین شد. مدل شبکه عصبی منطبق بر گروه‌های EF شناسایی شده، تولید گردید. پیش‌بینی در بازه‌های خوشبندی شده مناسب بود و MSE اندازه‌گیری شده برابر $48/000$ گزارش شد که در مقایسه با روشنی که برای کل بازه عمقی طراحی شده بود و خطای $73/000$ را نشان داد، دقت بهتری داشت. بنابراین می‌توان نتیجه گرفت که یک دسته‌بندی اولیه

مراجع

- [1]. نجاری س، علیزاده ب، کدخدایی علی، "تخمین کل کربن آبی (TOC) توسط روش‌های شبکه عصبی مصنوعی و $\Delta \log R$ در میدان گازی پارس جنوبی"، بیست و نهمین گردهمایی علوم زمین، سازمان زمین‌شناسی و اکتشافات معدنی کشور، تهران، ایران، ۱۳۸۹.
- [2]. Passey O. R., Moretti F. U. and Stroud J. D., "A practical modal for organic richness from porosity and resistivity logs", American Association of Petroleum Geologists Bulletin 74, pp.1777-1794. 1990
- [3]. Kamali M. R. and Mirshady A. A., Total organic carbon content determined from well logs using $\Delta \log R$ and neuro-fuzzy techniques. J. Petrol. Sci. Eng. 45, pp. 141–148. 2004.
- [4]. Huang Z., Williamson M. A., "Artificial neural network modeling as an aid to source rock characterization", Marine and Petroleum Geology 13 (2), pp. 227-290. 1996
- [5]. Kadkhodaie-Iikhchi A., Rahimpour-Bonab H. and Rezaee M. R., "A Committee Machine with Intelligent Systems for Estimation of Total Organic Carbon Content from Petrophysical Data: An Example from the Kangan and Dalan Reservoirs in South Pars Gas Field", Iran. Computers & Geosciences 35, 459-474,2009
- [6]. Kashfi M. S., "Greater Persian Gulf Permian-Triassic stratigraphic nomenclature requires study", Oil and Gas Journal (Tulsa) 6, pp. 36-44,2000
- [7]. Ji C. Y., "Land-use classification of remotely sensed data using Kohonen self-organizing feature map neural networks", Photogrammetric Engineering and Remote Sensing 66, pp. 1451–1460. 2000,
- [8]. Vilman T., Merenyi E. and Hammer B., "Neural maps in remote sensing image analysis", Neural Networks 16, pp. 389-403. 2003.

- [9]. Fayos J. and Fayos C., "Wind data mining by Kohonen neural networks", PLoS ONE 2, pp. 210. 2007.
- [10]. Cassano E. N., Lynch A. H., Cassano J. J. and Koslow M. R., "Classification of synoptic patterns in the western Arctic associated with extreme events at Barrow", Alaska, USA. Climate Research 30, pp. 83-97. 2006.
- [11]. Cole ou T., Poupon M. and Azbe K., "Unsupervised seismic facies classification: a review and comparison of techniques and implementation", The Leading Edge 22, pp. 942–953, 2003.
- [12]. Strecker U. and Uden R., "Data mining of 3D poststack seismic attribute volumes using Kohonen self-organizing maps", The Leading Edge 21, pp. 1032-1037. 2002.
- [13]. Kohonen T., Kaski S. and Lappalainen H., "Self-organized formation of various invariantfeature filters in the adaptive-subspace SOM", Neural Computation 9, pp. 1321-1344. 1997.
- [14]. Mukherjee A., "Self-organizing neural network for identification of natural modes", The Journal of Computing in Civil Engineering 11 (1), pp. 74-77. 1997.
- [15]. Astela A., Tsakovski S., Barbieri P. and Simeonov V., "Comparison of self-organizing maps classification approach with cluster and principal components analysis for large environmental data sets", Journal of Water Research 41, pp. 4566-4578, 2007.
- [16]. Kohonen T., "Self-Organizing Maps, Springer series in Information Sciences", New York, Springer-Verlag, Vol. 30, pp. 501, 2001.
- [17]. Tan P-N., "Steinbach M. and Kumar V. Introduction to Data Mining", Pearson Addison Wesley, pp. 769, 2006.
- [18]. Bhatt A ., Helle H. B., "Committee neural networks for porosity and permeability prediction from well logs", Geophysical Prospecting 50, pp. 645-660. 2002.
- [19]. Bishop C. M., "Neural Networks for Pattern Recognition", Clarendon Press, Oxford, pp. 670, 1995.